

ЭФФЕКТЫ КВАНТОВЫХ ФЛУКТУАЦИЙ В МОДЕЛИ СТРУКТУРНОГО СТЕКЛА

С.Е.Красавин

Исследуются фазовые переходы в модели структурно-неустойчивых твердых растворов типа смещения с конкурирующими ферро- и антиферродисторсионными взаимодействиями при учете квантовых флуктуаций. Показана возможность появления фазы типа спинового стекла.

Работа выполнена в Лаборатории теоретической физики ОИЯИ.

Quantum Fluctuation Effects in the Model of Structure Glass

S.E.Krasavin

Phase transitions in the model of displacement-type structurally-unstable solid solutions with competing ferro- and antiferrodistortive interactions are investigated taking into account quantum fluctuations. The possibility of appearance of spin glass-like phase is shown.

The investigation has been performed at the Laboratory of Theoretical Physics, JINR.

1. Введение

В последнее время все большее внимание в области физики конденсированных сред уделяют структурным стеклам, которые являются диэлектрическими аналогами спиновых стекол в магнитных системах. Структурным стеклом называют стеклоподобное состояние, возникающее в структурно-неустойчивых системах. Твердые растворы, по-видимому, являются наиболее перспективными для экспериментального изучения системами, так как их можно получать при выращивании без дефектов, которые сильно влияют на картину фазового перехода^[1]. Наиболее изучены в настоящее время смеси сегнетоэлектрика RbH₂PO₄(RDP) и антисегнетоэлектрика NH₄H₂PO₄(ADP), которые являются аналогами концентрированных спиновых стекол с конкурирующими взаимодействиями. Для этих систем имеется большой экспериментальный материал, а также построена модель термодинамических и динамических свойств системы. Исследования показывают, что при концентрации X в интервале от 0,2 до 0,8 эти смешанные кристаллы имеют характерное стеклоподобное поведение, обусловленное разупорядочением протонов. При этом, как было показано

в работах^{/2,3/}, важную роль играют квантовые флуктуации, так как переход в фазу стекла происходит при низких температурах. Данная структура относится к классу систем, испытывающих структурный фазовый переход типа порядок — беспорядок^{/4/}.

Другим классом систем, испытывающих структурный фазовый переход, являются системы типа смещения. Примером может служить твердый раствор $\text{Sr}_{1-x}\text{Pb}_x\text{TiO}_3$, состоящий из сегнетоэлектрической компоненты PbTiO_3 и антисегнетоэлектрической компоненты SrTiO_3 . Как показывают исследования^{/5/}, фазовая диаграмма в этом твердом растворе содержит область сегнетоэлектрической и антисегнетоэлектрической фаз и, возможно, фазу стекла. Стеклоподобное поведение в системах, претерпевающих структурный фазовый переход типа смещения, исследовалось теоретически в работе^{/6/}. Однако это исследование было проведено в классическом пределе. В настоящей работе рассматривается модель твердого раствора типа смещения с конкурирующими взаимодействиями при учете квантовых флуктуаций.

2. М о д е л ь

Рассмотрим модельный гамильтониан:

$$H = \sum_n \left(\frac{P_n^2}{2m_n} - \frac{A_n}{2} x_n^2 + \frac{B_n}{4} x_n^4 \right) + \frac{1}{4} \sum_{nn'} \Phi_{nn'} (x_n - x_{n'})^2, \quad (1)$$

где x_n — локальная нормальная координата, описывающая смещение атомов n -й элементарной ячейки, P_n — соответствующий локальной нормальной координате импульс, $\Phi_{nn'}$ — силовая константа, описывающая взаимодействие n -й и n' -й ячеек. Введем параметр квантовости $\lambda = \hbar\omega_0/4V_0$, где $\omega_0 = \sqrt{A/m}$ — частота нулевых колебаний, $V_0 = A^2/4B$ — глубина эффективного одночастичного потенциала (A, B — параметры ямы).

Фазовый переход в модели, то есть появление при некоторой температуре T_c отличного от нуля среднего смещения $\eta_n = \langle x_n \rangle \neq 0$, возможен, если $\lambda < \lambda_c$, где λ_c — критическое значение параметра квантовости. Представим локальные нормальные координаты в виде

$$x_n = u_n(t) + \eta_n,$$

где η_n — статические смещения, $u_n(t)$ — флуктуационные смещения вблизи положения равновесия.

Выполняя термодинамическое усреднение уравнения движения $\frac{d}{dt} \langle P_n(t) \rangle = 0$, получаем

$$(-A_n + 3B_n \langle u_n^2 \rangle + \Phi_{0n}) \eta_n + B_n \eta_n^3 = \sum_{nn'} \Phi_{nn'} \eta_{n'}, \quad (2)$$

где $\Phi_{0n} = \sum_k \Phi_{nk}$. Мы отбросили ангармонические члены высокого порядка.

По аналогии со спиновыми стеклами ^{/7/} введем следующие два параметра порядка для описания фазы структурного стекла: $\bar{\eta}_n$ и $\bar{\eta}_n^2$. Черта сверху означает конфигурационное усреднение, которое выполняется в приближении виртуального кристалла. Из уравнения (2) имеем

$$(-\bar{A}_n + 3\bar{B}_n \langle \bar{u}_n^2 \rangle + \bar{\Phi}_{0n}) \bar{\eta}_n = \sum_n \bar{\Phi}_{nn'} \bar{\eta}_{n'}, \quad (3)$$

здесь выполнено конфигурационное усреднение и отброшены ангармонические члены. В парапазе $\bar{\eta}_n = 0$, и, соответственно, в ферро- и антиферрофазе $\bar{\eta}_n \sim \cos q_0 R_n$. Если Φ_{q_0} имеет максимум при $q = 0$ (положительное взаимодействие), то происходит переход парапаза — феррофаза. При $q = q_B Z$ максимум Φ_{q_0} определяет переход парапаза — антиферрофаза (отрицательное взаимодействие). Запишем фурье-преобразование уравнения (3):

$$3\bar{B}_n \langle \bar{u}_n^2 \rangle = \bar{A}_n + \bar{\Phi}_{q_0} - \bar{\Phi}_{q=0}. \quad (4)$$

Средний квадрат флюктуаций определяется из флюктуационно-диссипационной теоремы:

$$\langle \bar{u}_n^2 \rangle = \frac{1}{2m_n N} \sum_q \frac{1}{\omega_q} \operatorname{ctg} \frac{\omega_q}{2T}.$$

Используя уравнение (3), с учетом выбранных параметров порядка получаем выражение для фазы стекла:

$$3\bar{B}_n^2 \langle \bar{u}_n^2 \rangle = \bar{B}_n (A_n - \Phi_{0n})^2 + \{ \bar{B}_n (A_n - \Phi_{0n})^2 + \bar{B}_n^2 [\Phi_{2n}^2 - (\Phi_{0n} - A_n)^2] \}^{1/2}, \quad (5)$$

$$\text{где } \Phi_{2n}^2 = \sum_k \Phi_{nk}^2.$$

Фононная частота, соответствующая мягкой моде, определяется уравнением

$$\bar{m}_n \omega_q^2 = -\bar{A}_n + 3\bar{B}_n (\langle \bar{u}_n^2 \rangle + \bar{\eta}_n^2) + \bar{\Phi}_{q=0} - \bar{\Phi}_{q_0}. \quad (6)$$

Система уравнений (4)-(6) определяет температуру перехода к соответствующей фазе при q_0 , а также температуру перехода к фазе стекла T_g .

Введем следующие безразмерные параметры:

$$\frac{\bar{\Omega}^2}{\Omega_{q_0}^2} = \frac{\omega_{q_0}^2}{A_n/m_n}; \quad \theta = \frac{T}{A_n^2/B_n}; \quad \bar{f}_{q_0} = \frac{\Phi_{q_0}}{A_n}. \quad (7)$$

Используя систему уравнений (4)-(6), с учетом (7) получаем параметрические уравнения для определения критической температуры T в интегральной форме:

$$\int_0^1 \Omega \operatorname{cth} \frac{\lambda \Omega}{2\theta} \sqrt{(1-p)^2 - 1,2p(1-p)} = \frac{0,2\sqrt{(1-p)^2 - 1,2p(1-p)}}{\lambda}, \quad (8)$$

$$\int_0^1 \Omega \operatorname{cth} \frac{\lambda \Omega}{2\theta} \sqrt{1,2p^2 - 1,2p(1-p)} = \frac{0,2\sqrt{1,2p^2 - 1,2p(1-p)}}{\lambda} \times \quad (9)$$

$$\times (1 + 2,4p^2 - 1,2p),$$

$$\int_0^1 \Omega \operatorname{cth} \frac{\lambda \Omega}{2\theta} \sqrt{(1-p)^2 - 1,2p(1-p) + 1,2p^2} = 0,2\sqrt{(1-p)^2 - 1,2p(1-p) + 1,2p^2} \times \quad (10)$$

$$\times \{-0,1 + 3,52p - 3,74p^2 + \sqrt{1,21 - 4,84p + 13,9p^2 + 10,11p^4}\}/\lambda.$$

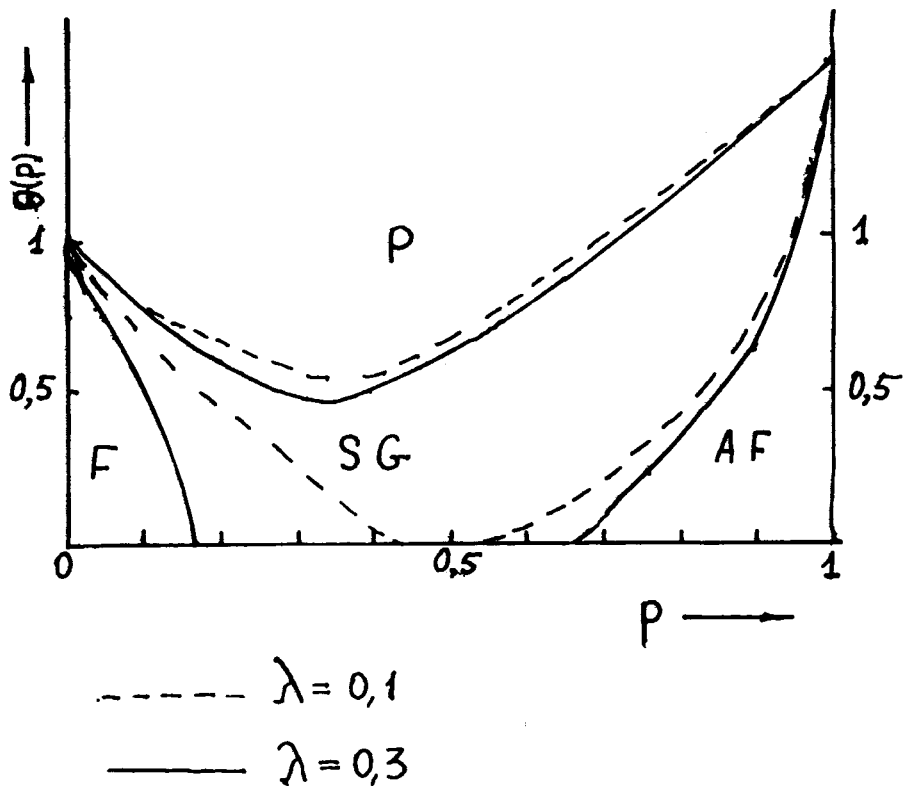
Уравнения (8)-(10) описывают переходы парафаза — феррофаза, парафаза — антиферрофаза, парафаза — фаза структурного стекла соответственно.

3. Фазовый переход в модели

В приближении виртуального кристалла силовые константы и массы описываются выражениями

$$\begin{aligned} \bar{\Phi}_{nn'} &= (1-p)^2 \Phi_{nn}^{AA} + 2p(1-p) \Phi_{nn'}^{AB} + p^2 \Phi_{nn'}^{BB}, \\ \bar{m}_n &= (1-p)m_A + pm_B. \end{aligned} \quad (11)$$

Здесь компонента А твердого раствора испытывает ферродисторсионный переход ($\max_q \Phi_{q=0}^{AA} = \Phi_{q=0}^{AA} = \Phi_0^{AA}$), компонента В — анти-



ферродисторсионный $\Phi_q^{BB} = \Phi_{q=q_B}^{BB}$. Для численных расчетов были выбраны следующие соотношения между параметрами:

$$A_B = -0,2 A_A; \quad B_B = B_A; \quad m_B = m_A; \quad \frac{\Phi_{AA}}{A_A} = 1,1;$$

$$\Phi^{AB} = -0,6 \Phi^{AA}; \quad \Phi^{BB} = -1,2 \Phi^{AA}.$$

На рисунке показана зависимость температуры перехода θ в соответствующую фазу от концентрации ρ при значениях параметра квантовости $\lambda = 0,1, \lambda = 0,3$.

4. Заключение

Как видно из диаграммы (см. рисунок), квантовые флуктуации больше подавляют дальний порядок, чем ближний, причем вклад их при переходе парафаза — феррофаза заметен больше, чем при переходе в другие фазы. С увеличением вклада этих флуктуаций, как показано на рисунке, увеличивается область перехода в фазу стекла. В целом можно заметить, что с ростом вклада

этих эффектов температура перехода в соответствующую фазу уменьшается.

Анализ структурного фазового перехода в классическом случае (без учета квантовых флуктуаций) рассматривается в теоретической работе^{/6/}. При сравнении диаграммы в классическом приближении с полученной нами фазовой диаграммой можно заметить, что в квантовом случае расширяется область перехода в фазу стекла. Это говорит о том, что квантовые эффекты вносят дополнительный вклад в образование системы с ближним порядком.

Таким образом, как показывает проведенное рассмотрение, учет квантовых флуктуаций заметно влияет на фазовые переходы в модели структурного стекла. Представляет интерес экспериментальное изучение этого влияния, например в случае твердого раствора $(\text{Sr}, \text{Pb}) \text{TiO}_3$.

В заключение автор благодарит В.Л.Аксенова за постановку задачи и руководство данной работой.

Л и т е р а т у р а

1. Gourtens E. — Helv.Phys.Acta, 1983, vol.56, p.705.
2. Pirc R., Tadic B., Blinc R. — Z. Phys. B, 1985, vol.61, p.69.
3. Aksenov V.L., Bobeth M., Plakida N.M. — Ferroelectrics, 1987, vol.72, NN 1, 2, 3, 4, p. 257.
4. Брус А., Каули Р. Структурные фазовые переходы. М.: Мир, 1984.
5. Fischer E. JINR Preprint E8-86-236, Dubna, 1986.
6. Aksenov V.L., Bobeth M. — Phys.stat. sol (b), 1985, v.128, No.2, p.105.
7. Sherrington D. — J. Phys. C, 1975, vol. 8, p. L208.

Рукопись поступила в издательский отдел
26 июля 1988 года.